

т. е. примерно в области 7 (см. фиг. 1), обнаружена серия отдельных микротрецчин, что может указать на факт существования кратковременных отрицательных напряжений в этом сечении. Сетка микротрецчин по толщине образовавшегося тыльного откола значительно гуще, что также соответствует результатам анализа течений.

Поступила 10 II 1976

ЛИТЕРАТУРА

- Curran D. R. Nonhydrodynamic attenuation of shock waves in aluminum.— «J. Appl. Phys.», 1963, vol. 34, N 9.
- Новиков С. А., Синицына Л. М. О влиянии давления ударного сжатия на величину критических напряжений сдвига в металлах.— ПМТФ, 1970, № 6, с. 107.
- Альтшулер Л. В., Бражник М. И., Телегин Г. С. Прочность и упругость железа и меди при высоких давлениях ударного сжатия.— ПМТФ, 1971, № 6.
- Альтшулер Л. В., Кормер С. Б., Баканова А. А., Трунин Р. Ф. Уравнения состояния алюминия, меди и свинца для области высоких давлений.— ЖЭТФ, 1960, т. 38, вып. 3.

УДК 539.375

ИССЛЕДОВАНИЕ ПРЕДЕЛЬНОГО ПОЛЯ НАПРЯЖЕНИЙ ВОЗЛЕ ТРЕЩИН, ИСХОДЯЩИХ ИЗ КОНТУРОВ ОТВЕРСТИЙ ПЕРФОРИРОВАННОЙ ПЛАСТИНЫ

B. M. Мирсалимов

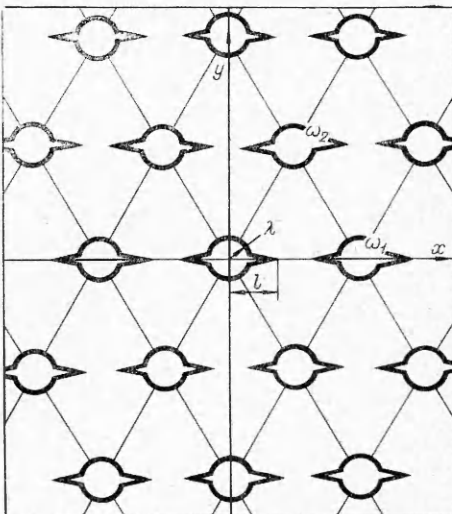
(Липецк)

В последние годы появилось значительное число работ (см. обзоры [1, 2]), в которых изучалось предельное напряженное состояние возле трещин, исходящих из контура одиночного отверстия. Аналогичной задаче о растяжении пластины с одиночным отверстием посвящена работа [3].

1. Пусть имеется двояконе-
тическая решетка с круговыми
отверстиями, имеющими радиус
 $\lambda (\lambda < 1)$ и центры в точках

$$\begin{aligned} P_{mn} = m\omega_1 + n\omega_2 \quad (m, n = \\ = 0, \pm 1, \pm 2, \dots), \quad \omega_1 = 2, \quad \omega_2 = \\ = 2le^{i\alpha}, \quad l > 0, \quad \operatorname{Im} \omega_2 > 0. \end{aligned}$$

Из контуров отверстий исходят симметричные прямолинейные щели (фиг. 1). Контуры круговых отверстий и берега разрезов свободны от нагрузок. Рассмотрим задачу о растяжении такой перфорированной пластины постоянными усилиями $\sigma_2 = \sigma_y^\infty$ в направлении, перпендикулярном линии разрезов. В силу симметрии граничных условий и геометрии области D , занятой материалом пла-



Фиг. 1

стипы, напряжения являются двоякопериодическими функциями с основными периодами ω_1 и ω_2 .

Для решения задачи естественным образом объединяется метод, развитый при решении двоякопериодической упругой задачи [4], с методом [5, 6] построения в явной форме потенциалов Колосова — Мусхелишвили, соответствующих неизвестным нормальным смещениям вдоль разрезов.

Напряжения и смещения представим [7] через потенциалы Колосова — Мусхелишвили $\Phi(z)$ и $\Psi(z)$

$$(1.1) \quad \begin{aligned} \sigma_x + \sigma_y &= 4 \operatorname{Re} \Phi(z) \quad (z = x + iy), \\ \sigma_y - \sigma_x + 2i\tau_{xy} &= 2[\bar{z}\Phi'(z) + \Psi(z)], \\ 2\mu(u + iv) &= \kappa\varphi(z) - z\bar{\varphi}'(z) - \bar{\psi}(z), \\ \Phi(z) &= \varphi'(z), \quad \Psi(z) = \psi'(z), \end{aligned}$$

$$\begin{aligned} \kappa &= \begin{cases} 3 - 4\nu & \text{(плоская деформация),} \\ (3 - \nu)/(1 + \nu) & \text{(плоское напряженное состояние),} \end{cases} \\ \mu \text{ и } \nu & \text{— модуль сдвига и коэффициент Пуассона соответственно.} \end{aligned}$$

На основании формул (1.1) и граничных условий на контурах круговых отверстий и берегах разрезов задача сводится к определению двух аналитических в области D функций $\Phi(z)$ и $\Psi(z)$ из краевых условий

$$(1.2) \quad \Phi(\tau) + \overline{\Phi(\tau)} - [\bar{\tau}\Phi'(\tau) + \Psi(\tau)]e^{2i\theta} = 0;$$

$$(1.3) \quad \Phi(t) + \overline{\Phi(t)} + t\overline{\Phi'(t)} + \overline{\Psi(t)} = 0,$$

где $\tau = \lambda e^{i\theta} + m\omega_1 + n\omega_2$, $m, n = 0, \pm 1, \pm 2\dots$; t — аффикс точек берегов разрезов.

Решение краевой задачи (1.2), (1.3) ищем в виде

$$(1.4) \quad \Phi(z) = \Phi_1(z) + \Phi_2(z), \quad \Psi(z) = \Psi_1(z) + \Psi_2(z);$$

$$(1.5) \quad \Phi_1(z) = \frac{1}{2\pi} \int_L g(x) \zeta(x - z) dx + A,$$

$$\Psi_1(z) = \frac{1}{2\pi} \int_L [\zeta(x - z) + Q(x - z) - x\gamma(x - z)] g(x) dx + B;$$

$$(1.6) \quad \Phi_2(z) = \frac{1}{4} \sigma_y^\infty + \sum_{k=0}^{\infty} \alpha_{2k+2} \frac{\lambda^{2k+2} \gamma^{(2k)}(z)}{(2k+1)!},$$

$$\Psi_2(z) = \frac{1}{2} \sigma_y^\infty + \sum_{k=0}^{\infty} \hat{p}_{2k+2} \frac{\lambda^{2k+2} \gamma^{(2k)}(z)}{(2k+1)!} - \sum_{k=0}^{\infty} \alpha_{2k+2} \frac{\lambda^{2k+2} Q^{(2k+1)}(z)}{(2k+1)!},$$

$$\operatorname{Im} \alpha_{2k} = \operatorname{Im} \beta_{2k} = 0,$$

где интегралы в (1.5) берутся по линии $L = \{-l, -\lambda\} + [\lambda, l\}$; $\gamma(z)$ и $\zeta(z)$ — функции Вейерштрасса; $Q(z)$ — специальная мероморфная функция [4]; $g(x)$ — искомая функция; A и B — константы.

К соотношениям (1.4)–(1.6) следует добавить дополнительное условие, вытекающее из физического смысла задачи

$$(1.7) \quad \int_L g(x) dx = 0.$$

Функции $\gamma(z)$, $\zeta(z)$ и $Q(z)$ в конгруэнтных точках удовлетворяют условиям [4]

$$(1.8) \quad \gamma(z + \omega_j) - \gamma(z) = 0, \quad \zeta(z + \omega_j) - \zeta(z) = \delta_j \quad (j = 1, 2),$$

$$\begin{aligned} Q(z + \omega_j) - Q(z) &= \overline{\omega_j} \gamma(z) + \gamma_j, \\ \delta_j &= 2\zeta(\omega_j/2), \quad \gamma_j = 2Q(\omega_j/2) - \overline{\omega_j} \gamma(\omega_j/2), \\ \delta_1 \omega_2 - \delta_2 \omega_1 &= 2\pi i, \quad \gamma_2 \omega_1 - \gamma_1 \omega_2 = \overline{\delta_1 \omega_2} - \overline{\delta_2 \omega_1}. \end{aligned}$$

Условие равенства нулю главного вектора сил, действующих на дугу, соединяющую две конгруэнтные точки в D , эквивалентно равенствам

$$q(z + \omega_j) - q(z) = 0 \quad (j = 1, 2),$$

$$q(z) = \varphi(z) + z\overline{\Phi(z)} + \overline{\psi(z)}$$

и с учетом (1.7), (1.8) приводит к соотношению

$$A + \overline{A} + \overline{B} = -(1/\omega_1)\{\delta_1 a + \overline{\gamma_1} a + \overline{\delta_1}(a + \overline{a}) - \alpha_2 \lambda^2 (\delta_1 + \overline{\gamma_1}) - \beta_2 \lambda^2 \overline{\delta_1}\}.$$

Можно убедиться, что функции (1.4)–(1.6) при условии (1.7) определяют класс симметричных задач с двоякоперiodическим распределением напряжений.

Неизвестная функция $g(x)$ и постоянные α_{2k+2} и β_{2k+2} должны быть определены из краевых условий (1.2), (1.3).

В силу выполнения условий двоякоперiodичности системы граничных условий (1.2) заменяется одним функциональным уравнением, например, на контуре $\tau = \lambda e^{i\theta}$, а система условий (1.3) — краевым условием на L .

Для составления уравнений относительно коэффициентов α_{2k+2} и β_{2k+2} функций $\Phi_2(z)$ и $\Psi_2(z)$ представим граничное условие (1.2) в виде

$$(1.9) \quad \Phi_2(\tau) + \overline{\Phi_2(\tau)} - [\tau \Phi'_2(\tau) + \Psi_2(\tau)] e^{2i\theta} = f_1(\theta) + if_2(\theta),$$

где

$$f_1(\theta) + if_2(\theta) = -\Phi_1(\tau) - \overline{\Phi_1(\tau)} + [\tau \Phi'_1(\tau) + \Psi_1(\tau)] e^{2i\theta}.$$

Относительно функции $f_1(\theta) + if_2(\theta)$ будем считать, что она разлагается на $|\tau| = \lambda$ в ряд Фурье. В силу симметрии этот ряд имеет вид

$$(1.10) \quad f_1(\theta) + if_2(\theta) = \sum_{k=-\infty}^{\infty} A_{2k} e^{2ik\theta}, \quad \operatorname{Im} A_{2k} = 0;$$

$$(1.11) \quad A_{2k} = -\frac{1}{2\pi} \int_L g(x) f_{2k}(x) dx,$$

$$\begin{aligned} f_{2k}(x) &= \frac{1}{2\pi} \int_0^{2\pi} \{2 \operatorname{Re}[A + \zeta(x - \lambda e^{i\theta})]\} e^{-2ik\theta} d\theta - \frac{1}{2\pi} \int_0^{2\pi} \{\lambda e^{-i\theta} \gamma(x - \lambda e^{i\theta}) + \\ &+ \zeta(x - \lambda e^{i\theta}) + Q(x - \lambda e^{i\theta}) - x\gamma(x - \lambda e^{i\theta}) + B\} e^{-i(2k-2)\theta} d\theta. \end{aligned}$$

Ввиду громоздкости функций $f_{2k}(x)$ результат интегрирования, полученный при помощи теории вычетов, не приводится.

Подставив в левую часть краевого условия (1.9) вместо $\Phi_2(\tau)$, $\overline{\Phi_2(\tau)}$, $\Phi'_2(\tau)$ и $\Psi_2(\tau)$ их разложения в ряды Лорана в окрестности $z = 0$, а в правую часть (1.9) ряд Фурье (1.10) и сравнив коэффициенты при одинаковых степенях $e^{i\theta}$, получим [4] две бесконечные системы алгебраических уравнений относительно коэффициентов α_{2k+2} и β_{2k+2} . Ввиду весьма громоздкого вида они не приводятся (см. в [4] системы (3.3), (3.5), гл. 1).

Требуя, чтобы функции (1.4) удовлетворяли краевому условию на берегу разреза L , получаем сингулярное интегральное уравнение

$$(1.12) \quad \frac{1}{2\pi} \int_L g(t) K(t-x) dt + H(x) = 0, \quad K(x) = 3\zeta(x) + Q(x) - x\gamma(x),$$

$$H(x) = A + \overline{A} + \overline{B} + 2\Phi'_2(x) + x\Phi'_2(x) + \Psi_2(x).$$

Сингулярное уравнение (1.12) и системы (3.3), (3.5) из [4] являются основными уравнениями задачи, позволяющими определить функцию $g(x)$ и коэффициенты $\alpha_{2k+2}, \beta_{2k+2}$. Зная функции $g(x)$ и $\Phi_2(z)$ и $\Psi_2(z)$, можно найти напряженно-деформированное состояние перфорированной пластины. В механике хрупкого разрушения [8] особый интерес представляет коэффициент интенсивности напряжений в окрестности конца трещины. В рассматриваемом случае трещина одним концом $x = \lambda$ выходит на поверхность кругового отверстия, свободного от внешних усилий. В этом случае напряжения в кончике $x = \lambda$ ограничены и имеют особенность на другом конце $x = l$. В частности, для коэффициента интенсивности напряжений K_I у вершины трещины на концах $x = \pm l$ имеем

$$K_I = 2\sqrt{2\pi|x - l|}g(x).$$

Функция $g(x)$ ограничена в окрестности $x = +\lambda$ и имеет сингулярность порядка $1/2$ в окрестности $x = \pm l$.

Развитие трещины определяется некоторым дополнительным условием, задаваемым в кончике трещины. Для линейно-упругого тела дополнительным условием является локальный критерий разрушения Гриффитса — Ирвина $K_I = K_{Ic}$ (K_{Ic} — постоянная, характеризующая сопротивление материала распространению в нем трещин). Это условие позволяет определить величину предельного (критического) значения внешних усилий σ_y^∞ .

Воспользовавшись разложениями [4] в основном параллелограмме периодов

$$\begin{aligned} \zeta(z) &= \frac{1}{z} - \sum_{j=1}^{\infty} \frac{g_{j+1} z^{2j+1}}{2^{2j+2}}, \quad g_k = \sum'_{m,n} \frac{1}{T^{2k}}, \\ \gamma(z) &= \frac{1}{z^2} + \sum_{j=1}^{\infty} \frac{(2j+1) g_{j+1}}{2^{2j+2}} z^{2j}, \quad \rho_k = \sum'_{m,n} \frac{\bar{T}}{T^{2k+1}}, \\ Q(z) &= \sum_{j=1}^{\infty} \frac{(2j+2) \rho_{j+1}}{2^{2j+2}} z^{2j+1}, \quad T = \frac{1}{2} P_{mn}, \\ m, n &= 0, \pm 1, \pm 2, \dots; k = 2, 3, \dots, \end{aligned}$$

уравнение (1.12) после некоторых простых преобразований приведем к виду

$$(1.13) \quad \frac{1}{\pi} \int_L \frac{p(\xi)}{\xi - \xi_0} d\xi + \frac{1}{\pi} \int_L p(\xi) K_0(\xi - \xi_0) d\xi + H(\xi_0) = 0,$$

$$p(\xi) = g(t), \quad \xi = \frac{t}{l}, \quad \xi_0 = \frac{x}{l}, \quad \lambda_1 = \frac{\lambda}{l}, \quad L = \{[-1, -\lambda_1] + [\lambda_1, 1]\},$$

$$K_0(\xi) = K_*(\xi) - K(\xi),$$

$$K(\xi) = \sum_{j=0}^{\infty} K_j \left(\frac{l}{2} \right)^{2j+2} \xi^{2j+1}, \quad \lambda \leq l < 1,$$

$$K_*(\xi) = \sum_{j=0}^{\infty} K_j^* \left(\frac{l}{2} \right)^{2j+2} \xi^{2j+1}, \quad K_0 = \omega \operatorname{Re} \delta_1,$$

$$K_j = g_{j+1}, \quad K_0^* = -\frac{\omega_1}{2} (\bar{\gamma}_1 + \bar{\delta}_1), \quad K_j^* = (j+1)(\rho_{j+1} - g_{j+1}), \quad j = 1, 2,$$

$$\begin{aligned} H(\xi_0) &= \sigma_y^\infty + \frac{1}{\omega_1} [\alpha_2 \lambda^2 (\delta_1 + \bar{\gamma}_1) + \beta_2 \lambda^2 \bar{\delta}_1] + 2\Phi_2(\xi_0 l) + \\ &\quad + \xi_0 l \Phi'_2(\xi_0 l) + \Psi_2(\xi_0 l). \end{aligned}$$

К сингулярному интегральному уравнению следует добавить дополнительное условие (1.7), преобразованное к виду

$$(1.14) \quad \int_L p(\xi) d\xi = 0.$$

Условие (1.14) определяет симметричное решение задачи. При $p(\xi) = -p(-\xi)$ уравнение (1.13) принимает вид

$$(1.15) \quad \frac{2}{\pi} \int_{\lambda_1}^1 \frac{\xi p(\xi) d\xi}{\xi^2 - \xi_0^2} + \frac{1}{\pi} \int_{\lambda_1}^1 K_0^*(\xi, \xi_0) p(\xi) d\xi + H(\xi_0) = 0,$$

$$K_0^*(\xi, \xi_0) = K_0(\xi - \xi_0) + K_0(\xi + \xi_0), \quad \lambda_1 \leq \xi_0 < 1.$$

Преобразуем уравнение (1.15) к виду, более удобному для нахождения его приближенного решения. Для этого сделаем замену переменных

$$(1.16) \quad \xi^2 = u = \frac{1 - \lambda_1^2}{2} (\tau + 1) + \lambda_1^2,$$

$$\xi_0^2 = u_0 = \frac{1 - \lambda_1^2}{2} (\eta + 1) + \lambda_1^2.$$

При этом отрезок интегрирования $[\lambda_1, 1]$ переходит в отрезок $[-1, 1]$, а преобразованное уравнение (1.15) принимает форму

$$(1.17) \quad \frac{1}{\pi} \int_{-1}^1 \frac{p(\tau) u \tau}{\tau - \eta} d\tau + \frac{1}{\pi} \int_{-1}^1 p(\tau) B(\eta, \tau) d\tau + H_{**}(\eta) = 0,$$

где

$$p(\tau) = p(\xi);$$

$$B(\eta, \tau) = \frac{1 - \lambda_1^2}{2} \sum_{j=0}^{\infty} (K_j^* - K_j) \left(\frac{i}{2} \right)^{2j+2} u_0^j A_j;$$

$$A_j = \left\{ (2j+1) + \frac{(2j+1)(2j)(2j-1)}{1 \cdot 2 \cdot 3} \left(\frac{u}{u_0} \right) + \dots + \right. \\ \left. + \frac{(2j+1)(2j)(2j-1) \dots [(2j+1) - (2j+1-1)]}{1 \cdot 2 \dots (2j+1)} \left(\frac{u}{u_0} \right)^j \right\}.$$

Для простоты записи полагаем $H_{**}(\eta) = H_*(\xi_0)$. Напомним, что функция $H_{**}(\eta)$ содержит неизвестные коэффициенты α_{2k+2} , β_{2k+2} .

Ищется решение уравнения (1.17), ограниченное на левом конце. Сингулярное интегральное уравнение обычно регуляризуют по Карлеману — Векуа путем сведения его к уравнению Фредгольма. Однако при решении задач, представляющих интерес для приложений, целесообразно воспользоваться одним из способов прямого решения сингулярных уравнений [9, 10]. Воспользуемся способом, развитым в работе [11]. Представим решение в виде

$$(1.18) \quad p(\tau) = p_0(\tau) \sqrt{(1+\tau)/(1-\tau)}.$$

Здесь $p_0(\tau)$ непрерывна по Гельдеру на $[-1, 1]$, причем функция $p_0(\tau)$ заменяется интерполяционным полиномом Лагранжа, построенным по чебышевским узлам

$$L_n[p_0, \tau] = \frac{1}{n} \sum_{k=1}^n (-1)^{k+1} p_k^0 \frac{\cos n\theta \sin \theta_k}{\cos \theta - \cos \theta_k}, \quad \tau = \cos \theta,$$

$$p_k^0 = p_0(\tau_k), \quad \tau_m = \cos \theta_m, \quad \theta_m = \frac{2m-1}{2n} \pi, \quad m = 1, 2, \dots, n.$$

Используя соотношения [10]

$$\frac{1}{\pi} \int_0^\pi \frac{\cos n\tau d\tau}{\cos \tau - \cos \theta} = \frac{\sin n\theta}{\sin \theta}, \quad 0 \leq \theta \leq \pi, \quad n = 1, 2, \dots,$$

$$\int_{-1}^1 \frac{F(x) dx}{\sqrt{1-x^2}} = \frac{\pi}{n} \sum_{v=1}^n F(\cos \theta_v)$$

и выражения (1.11), (1.16), получаем квадратурные формулы

$$(1.19) \quad \frac{1}{2\pi} \int_{-1}^1 \frac{p(\tau) d\tau}{\tau - \eta} = \frac{1 + \cos \theta}{n \sin \theta} \sum_{v=1}^n p_v^0 \sum_{m=0}^{n-1} \cos m\theta_v \sin m\theta + \frac{1}{2n} \sum_{v=1}^n p_v^0,$$

$$\frac{1}{2\pi} \int_{-1}^1 p(\tau) B(\eta, \tau) d\tau = \frac{1}{2n} \sum_{v=1}^n (1 + \cos \theta_v) B(\cos \theta, \cos \theta_v) p_v^0;$$

$$(1.20) \quad A_{2k} = -\frac{1}{2n} \sum_{v=1}^n p_v^0 (1 + \cos \theta_v) f_{2k}^*(\cos \theta_v),$$

$$\text{где } f_{2k}^*(\tau) = \frac{1 - \lambda_1^2}{2} f_{2k}^*(\xi^2); \quad \xi l f_{2k}^*(\xi^2) = f_{2k}(t).$$

Формулы (1.19), (1.20) позволяют заменить основные уравнения бесконечной системой линейных алгебраических уравнений относительно приближенных значений p_v^0 искомой функции в узловых точках, а также коэффициентов α_{2k+2} , β_{2k+2} .

После некоторых выкладок сингулярное уравнение заменяется системой

$$(1.21) \quad \sum_{v=1}^n a_{mv} p_v^0 + \frac{1}{2} H_{**}(\eta_m) = 0, \quad m = 1, 2, \dots, n,$$

$$a_{mv} = \frac{1}{2n} \left[1 + \operatorname{ctg} \frac{\theta_m}{2} \operatorname{ctg} \frac{\theta_m + (-1)^{m-v} \theta_v}{2} + (1 + \tau_v) B(\eta_m, \tau_v) \right], \quad \tau_m = \eta_m.$$

Система (1.21) является связанный (замыкается) двумя бесконечными системами ((3.3), (3.5) из [4]), в которых вместо A_{2k} подставлено соотношение (1.20). Упомянутые три системы полностью определяют решение задачи. Коэффициент интенсивности напряжений определяется соотношением

$$K_I = \frac{2}{n} \sqrt{\pi l (1 - \lambda_1^2)} \sum_{v=1}^n (-i)^v p_v^0 \operatorname{ctg} \frac{\theta_v}{2}.$$

Для числовых расчетов была взята правильная треугольная решетка $\omega_1 = 2$, $\omega_2 = 2e^{(1/3)i\pi}$. Расчеты выполнены на ЭВМ М-222. В системе (1.21) полагалось $n = 10, 20$ и 30 , что отвечает разбиению интервала на $10, 20, 30$ чебышевских узлов соответственно. Каждая из бесконечных систем урезалась до пяти уравнений. При этом с помощью одной из них из остальных уравнений исключались неизвестные коэффициенты β_{2k+2} . Оказалось, что значения критической внешней нагрузки, а также коэффициенты α_{2k+2} и β_{2k+2} по существу не меняются (совпадают с точностью до шестого знака), начиная с $n = 20$.

На фиг. 2 представлены результаты расчетов критической (пределной) нагрузки $\sigma_* = \sigma_y \sqrt{\omega_1 / K_{Ic}}$ в зависимости от длины трещины $i_* =$

$= (l - \lambda)/\lambda$ для некоторых значений радиуса отверстия $\lambda = 0.6; 0.5; 0.4; 0.3; 0.2; 0.1$ (кривые 1—6).

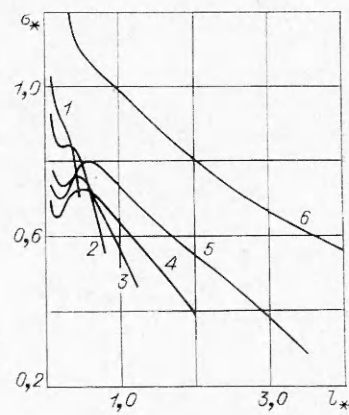
Как видно, для правильной треугольной решетки при некоторых значениях радиуса кругового отверстия λ возможно устойчивое развитие системы трещин (их взаимное упрочнение). Для пластины с двоякопериодической системой трещин ($\lambda = 0$) с теми же основными периодами возможность стабилизации роста трещин отсутствует.

Аналогичным образом можно получить решение и для иных внешних загружений.

2. Пусть теперь материал перфорированной пластины является идеально упругопластическим, подчиняющимся условию Треска — Сен-Венана, согласно которому максимальное касательное напряжение в каждой точке тела не превышает предела текучести на сдвиг τ_s ($2\tau_s = \sigma_s$, где σ_s — предел текучести на растяжение). Из упругого решения задачи о растяжении перфорированной пластины известно, что максимальные напряжения σ_y имеют место в точках $t = \pm\lambda + m\omega_1 + n\omega_2$ ($m, n = 0, \pm 1, \pm 2, \dots$). При некоторой нагрузке здесь будут возникать области пластических деформаций.

Рассмотрим задачу о начальном развитии пластических деформаций при одноосном растяжении тонкой перфорированной пластины усилиями σ_y^∞ . Будем считать, что пластические деформации сосредоточены вдоль некоторых линий скольжения, исходящих из контура отверстия. Из опыта хорошо известна общая тенденция к формированию пластических областей на первых стадиях их развития в виде узких полос скольжения, занимающих незначительный объем тела по сравнению с его упругой частью [12, 13]. Особенно это характерно для материалов, обладающих четко выраженной площадкой текучести (для металлов типа мягкой стали, склонных к запаздыванию текучести и обычно лучше описывающихся условием Треска — Сен-Венана), а также при наличии напряженного состояния с достаточно большим градиентом напряжений. Согласно точным вычислениям, пластические области имеют тенденцию к локализации в линию скольжения [14, 15]. Так, например, согласно точному решению упругопластической задачи о двухосном растяжении пластины с круговым отверстием, найденному в работе [15], уже при отклонении напряженного состояния на бесконечности от всестороннего на 0,1 ($\Delta\sigma/\sigma \approx 0,1$) пластическая зона из круговой превращается в вытянутую область с отношением ширины к длине примерно 1 : 4. Как показывают опыты, пластические области будут представлять в таких случаях отрезки длины d ($d = l - \lambda$) (см. фиг. 1). Толщину зоны можно считать равной нулю. Физически в тонких пластинах она может реализоваться в виде плоскости скольжения, направленной под углом 45° к плоскости пластины. Таким образом, благодаря локализации пластических деформаций рассматриваемая упругопластическая задача может быть сведена к граничной задаче плоской теории упругости, рассмотренной в п. 1 при замене правой части краевого условия (1.3) на σ_s . Величина l , характеризующая в этом случае длину полос пластичности, войдет в решение уравнения (1.13) как неизвестный параметр, подлежащий определению.

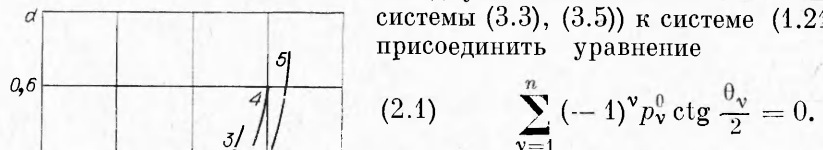
Так как напряжения в идеальном упругопластическом материале ограничены, то решение сингулярного интегрального уравнения (1.13)



Фиг. 2

следует искать в классе всюду ограниченных функций (напряжений). Условие ограниченности напряжений в концах $\pm l$ служит для определения параметра l , зная который, можно найти длину пластических зон.

Это значит, что при решении уравнения (1.13) в классе (1.18) совместно с двумя бесконечными системами (см. в [4] системы (3.3), (3.5)) к системе (1.21) следует присоединить уравнение



Фиг. 3

На фиг. 3 приведены графики зависимости длины полосы пластичности от безразмерного значения внешней нагрузки σ_y^∞/σ_s для некоторых значений радиуса отверстия $\lambda = 0,6; 0,5; 0,4; 0,3; 0,2$ (кривые 1—5).

Отметим, что при $|\omega_2| \rightarrow \infty$ имеем периодическую систему круговых отверстий со щелями, расположенных вдоль оси x ; а при $|\omega_1| \rightarrow \infty$ и конечной ω_2 получаем пластину с периодической системой параллельных круговых отверстий со щелями.

Поступила 30 I 1976

ЛИТЕРАТУРА

- Савин Г. И., Панасюк В. В. Развитие исследований по теории предельного равновесия хрупких тел с трещинами.— ПМ, 1968, т. 4, № 1.
- Парトン В. З., Черепанов Г. П. Механика разрушения.— В кн.: Механика в СССР за 50 лет. Т. 3. М., «Наука», 1972.
- Витвицкий П. М., Леонов М. Я. Растижение за пределом упругости пластинки с круговым отверстием.— ПМТФ, 1962, № 1.
- Григорюк Э. И., Фильшинский Л. А. Перфорированные пластины и оболочки. М., «Наука», 1970.
- Дацышин А. П., Саврук М. П. Интегральные уравнения плоской задачи теории трещин.— ПММ, 1974, т. 38, вып. 4.
- Фильшинский Л. А. Взаимодействие двоякопериодической системы прямолинейных трещин в изотропной среде.— ПММ, 1974, т. 38, вып. 5.
- Мусхелишвили Н. И. Некоторые основные задачи математической теории упругости. М., «Наука», 1966.
- Черепанов Г. П. Механика хрупкого разрушения. М., «Наука», 1974.
- Иванов В. В. Теория приближенных методов и ее применение к численному решению сингулярных интегральных уравнений. Киев, «Наукова думка», 1968.
- Каландия А. И. Математические методы двумерной упругости. М., «Наука», 1973.
- Каландия А. И. О приближенном решении одного класса сингулярных интегральных уравнений.— «Докл. АН СССР», 1959, т. 125, № 4.
- Иадан А. Пластичность и разрушение твердых тел. Т. 1. М., ИЛ, 1954.
- Кошелев П. Ф., Ужик Г. В. Исследование пластической деформации в местах концентрации напряжений методом травления.— «Изв. АН СССР. ОТН. Механика и машиностроение», 1959, № 1.
- Southwell R., Allen G. Relaxation methods applied to engineering problems.— «Phil. Trans. Roy. Soc. London», ser. A, 1950, vol. 242, p. 379.
- Черепанов Г. П. Об одном методе решения упругопластической задачи.— ПММ, 1963, т. 27, вып. 3.